

ҚАЗАКСТАН РЕСПУБЛИКАСЫ БІЛІМ ЖӘНЕ ФЫЛЫМ МИНИСТРЛІГІ
МИНИСТЕРСТВО ОБРАЗОВАНИЯ И НАУКИ РЕСПУБЛИКИ КАЗАХСТАН
MINISTRY OF EDUCATION AND SCIENCE OF THE REPUBLIC OF KAZAKHSTAN

АЛМАТЫ ТЕХНОЛОГИЯЛЫҚ УНИВЕРСИТЕТИ
АЛМАТИНСКИЙ ТЕХНОЛОГИЧЕСКИЙ УНИВЕРСИТЕТ
ALMATY TECHNOLOGICAL UNIVERSITY

ХАЛЫҚАРАЛЫҚ ТОҢАЗЫТУ АКАДЕМИЯСЫ
МЕЖДУНАРОДНАЯ АКАДЕМИЯ ХОЛОДА
INTERNATIONAL ACADEMY OF REFRIGERATION



VII ХАЛЫҚАРАЛЫҚ ФЫЛЫМИ-ТЕХНИКАЛЫҚ КОНФЕРЕНЦИЯ
«ҚАЗАҚСТАН-ТОҢАЗЫТУ 2017»

VII МЕЖДУНАРОДНАЯ НАУЧНО-ТЕХНИЧЕСКАЯ КОНФЕРЕНЦИЯ
«КАЗАХСТАН-ХОЛОД 2017»

VII INTERNATIONAL SCIENTIFIC AND TECHNICAL CONFERENCE
«KAZAKHSTAN-REFRIGERATION 2017»

Конференция баяндамаларының жинағы
15-16 наурыз, 2017 ж.

Сборник докладов конференции

15-16 марта 2017 г.

Proceedings of the Conference

March 15-16, 2017

Алматы, 2017

УДК 621.56/59(063)

ББК 31.392

К14

Сборник докладов подготовлен под редакцией
доктора технических наук, академика **Кулажанова Т.К.**

Редакционная коллегия:

Цой А.П., Бараненко А.В., Кантарбаев Р.А.,
Шлейкин А.Г., Андреева В.И. (ответ.секретарь)

К14 Казахстан-Холод 2017: Сб. докл. межд.науч.-техн. конф. (15-16 марта 2017 г.) – Алматы: АТУ, 2017. – 285 с.

ISBN 978-601-263-389-4

В докладах представлены результаты теоретических и экспериментальных исследований, проведенных в Казахстане, Германии, России, Японии и Украине по следующим направлениям: холодильная техника и компрессоростроение, теплохладоснабжение, системы кондиционирования воздуха и жизнеобеспечения, экология в холодильной промышленности, холодильная и пищевая технология. Сборник рассчитан на специалистов и ученых, работающих в областях холодильной, пищевой, химической, нефтеперерабатывающей промышленностей, а также на специалистов по системам кондиционирования воздуха и жизнеобеспечения жилых, коммерческих зданий и спортивных комплексов.

УДК 621.56/59(063)

ББК 31.392

ISBN 978-601-263-389-4

© АТУ, 2017

СОЛНЕЧНЫЕ АБСОРБИОННЫЕ ХОЛОДИЛЬНЫЕ СИСТЕМЫ И СИСТЕМЫ КОНДИЦИОНИРОВАНИЯ ВОЗДУХА МНОГОСТУПЕНЧАТОГО ТИПА

Дорошенко А.В.¹, д.т.н., Людницкий К.В.¹, аспирант, Иванова Л.В.², магистр

Одесская национальная Академия пищевых технологий Украина

Одесский национальный политехнический университет Украина

E-mail: leesoul@mail.ru, kostik_odessa@ukr.net

Сопряженные проблемы энергетики и экологии интенсифицируют поиск альтернативных решений в области холодильных и кондиционирующих систем. [1-7]. Разработанные решения для многофункциональных солнечных систем охватывают нужды энергетики, химической и пищевой технологий и позволяют решать задачи охлаждения, не прибегая к традиционной парокомпрессионной технике. Это позволяет существенно улучшить их эко-энергетические показатели.

I. Разработанные схемные решения для солнечных систем тепло-хладоснабжения

Основная концепция создания солнечных многофункциональных теплоиспользующих установок тепло-хладоснабжения и кондиционирования воздуха включает следующие позиции: – системы основаны на теплоиспользующем абсорбционном цикле открытого типа и состоят из осушительной части в составе абсорбер-осушитель – десорбер-регенератор, и охладительной части, в составе испарительных охладителей газов и жидкостей прямого (водоохладитель-градирня ГРД), или непрямого (воздухоохладитель НИО) типов; – поддержание непрерывности цикла обеспечивает альтернативный возобновляемый источник энергии, при этом источником тепла для работы десорбера-регенератора является солнечная система; – в солнечной системе используются плоские солнечные жидкостные коллекторы СКж (рис. 1, позиция 8), с полимерными теплоприемниками и другими элементами конструкции (прозрачное покрытие, корпусная часть) [1-2]. Принципиальные схемы разработанных солнечных систем представлены на рис. 1-4. Схемы включают (рис. 1): – осушительный блок в составе абсорбера-осушителя (1, 3) и десорбера-регенератора (5, 6), солнечную систему, в составе солнечных коллекторов СКж (8) и бака-теплоаккумулятора БТА, а также градирню технологического назначения, обслуживающую абсорбер (7); – охладительный блок, в составе воздухоохладителей непрямого испарительного типа НИО (2, 4) и водоохладителя-градирни ГРД (14). Таким образом, основная формула сборки блока охлаждения представляет собой варианты: АБР1 – НИО1 – АБР2 – НИО2 (рис. 1-3, ССКВ) и АБР1 – НИО1 – АБР2 – ГРД (рис. 1-4, СХС). Первый вариант сориентирован на создание альтернативных систем кондиционирования воздуха ССКВ, второй на создание холодильных систем различного назначения СХС.

II. Базовая концепция создания солнечных многофункциональных систем и тепломасообменной аппаратуры осушительного и охладительного контуров.

Основная концепция создания тепломасообменной аппаратуры (ТМА) осушительного и охладительного контуров солнечных систем включает: – Используется модульная схема создания ТМА как в осушительной, так и охладительной частях схем на основе идентичных элементов (моноблоков), каждый из которых представляет собой автономную ступень для реализации заданного процесса; – Все ТМА (абсорбера, десорбера и испарительные охладители сред), унифицированы, и выполнены как поперечноточные аппараты пленочного типа с многоканальной насадкой регулярной структуры из полимерных материалов; – Абсорбер-осушитель может быть выполнен многоступенчатым, на основе идентичных моноблоков (рис. 2-4), каждый из которых представляет автономную ступень осушения воздушного потока; при этом схема может быть построена по формуле АБР1 – НИО1 – АБР2 – НИО2, либо АБР1 – НИО1 – АБР2 – ГРД и состоять из двух ступеней осушения и охлаждения потока, установленных последовательно, что обеспечивает значительную глубину охлаждения «продуктового» потока (каскадная схема на рис. 2-4); – Десорбер-регенератор выполнен также двухступенчатым на основе идентичных моноблоков (позиции 5 и 6 на рис. 2), каждый из которых представляет автономную ступень восстановления концентрации абсорбента, в двухступенчатом варианте оформления десорбера раствор аборбента последовательно проходит каждую ступень регенерации, в которую поступает «свежий» наружный воздух; – Схема осушительной части может быть построена так, чтобы каждая ступень регенерации была замкнута на соответствующую ступень абсорбера-осушителя воздуха, при этом на вторую ступень десорбера ДБР2 поступает только часть абсорбента после первой ступени ДБР1, и направляется на вторую

ступень охлаждения, в абсорбер АБР2; – В охладительной части схем, в варианте ССКВ, используется модуль НИО (в двухступенчатом варианте НИО1 и НИО2, включенные в схему после соответствующих ступеней абсорбции); – Число ступеней охлаждения (моноблоков) в сборке (число каскадов в схеме солнечной системы) охладителя определяется требуемым эффектом охлаждения и расчетным долевым расходом получаемого продукта.

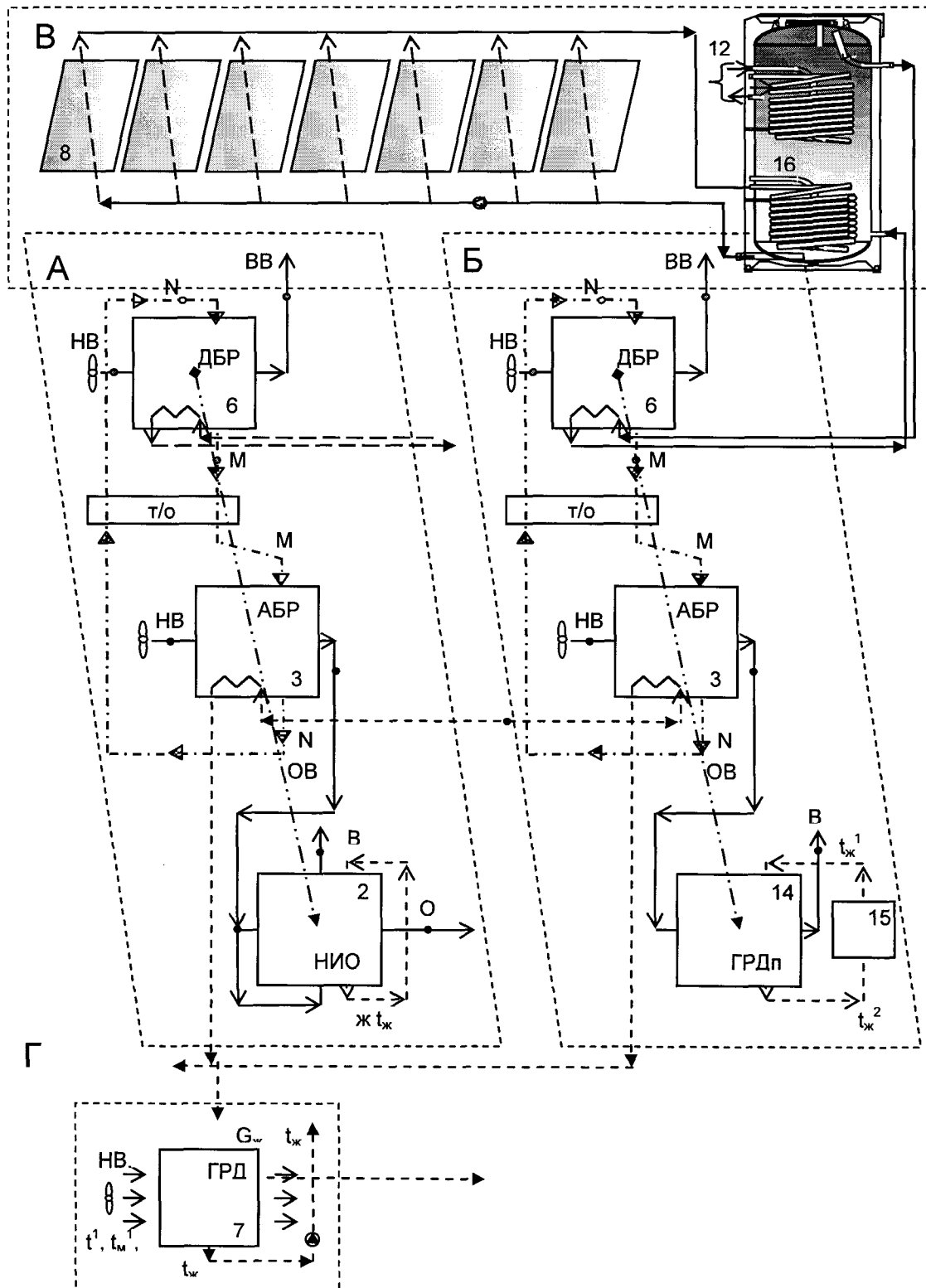


Рисунок 1 – Принцип построения основного (базового) элемента каскада многоступенчатой схемы ССКВ (А) и СХС (Б).

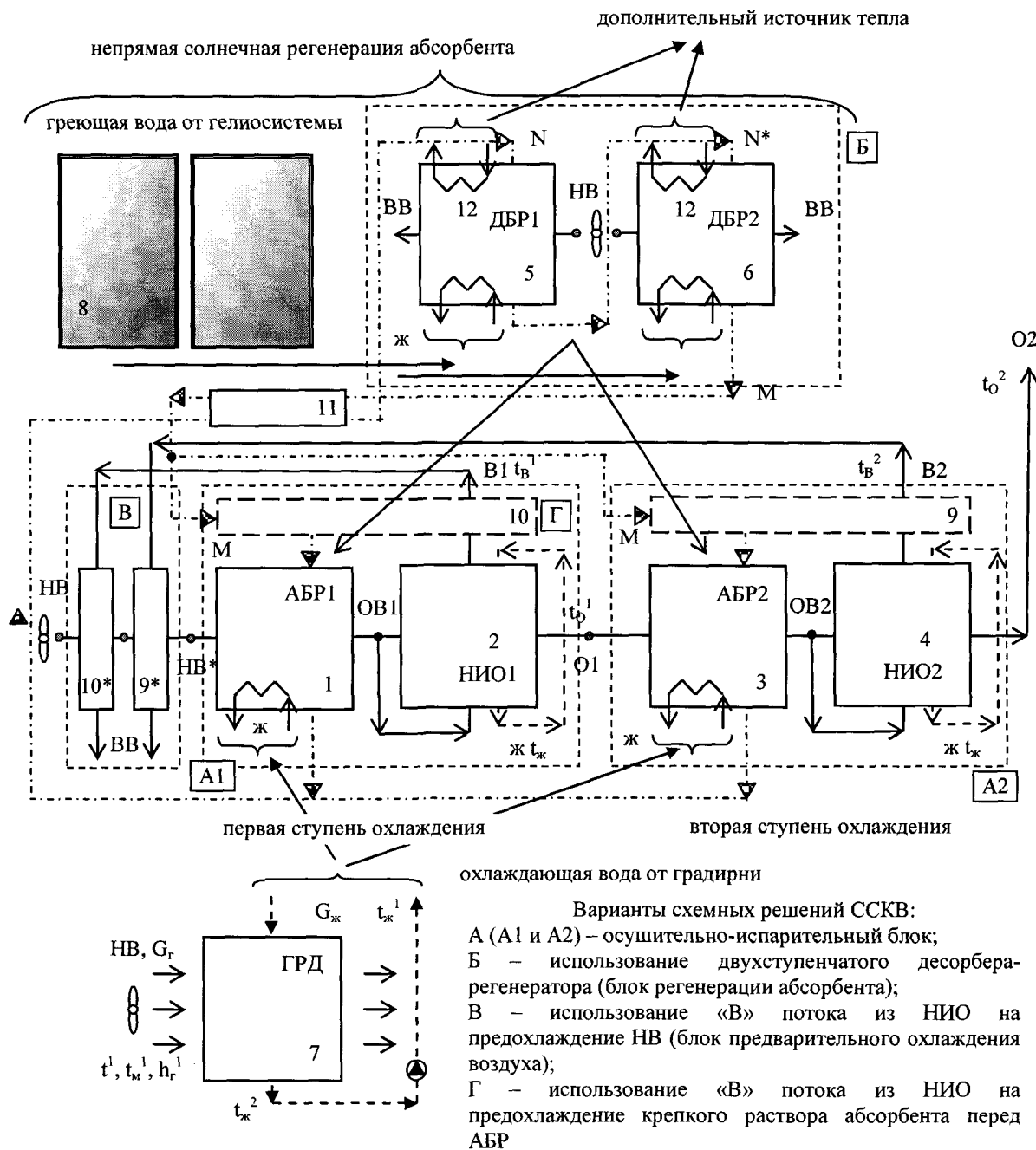


Рисунок 2 – Принципиальная схема ССКВ (формула АБР1 – НИО1 – АБР2 – НИО2).

Обозначения: 1, 3 – абсорбер-осушитель наружного воздуха АБР; 2, 4 – испарительный воздухоохладитель НИО; 5, 6 – десорбер-регенератор; 7 – градирня технологического назначения ГРДт; 8 – солнечная система, обеспечивающая процесс регенерации абсорбента (СКж); 9, 10, 11 – теплообменники; 12 – дополнительный греющий источник. НВ (П) – наружный воздух; ОВ – осушенный воздух; О – «основной» воздушный поток; В – «вспомогательный» воздушный поток для НИО; выбрасываемый в среду воздух для ГРД; Н, М – крепкий и слабый растворы абсорбента

В испарительном воздухоохладителе непрямого типа НИО, получившем наибольшее распространение в последние годы [1-2, 4-7], воздушный поток, поступающий на охлаждение, делится на две части. Вспомогательный поток воздуха («В») поступает в «мокрую» часть охладителя, где контактирует с водяной пленкой, стекающей по поверхностям канала и обеспечивает испарительное охлаждение воды, которая, в свою очередь, охлаждает бесконтактно, через разделяющую стенку, основной воздушный поток («О», соответственно после каждой ступени

охлаждения O_1 и O_2). Этот «продуктовый» поток воздуха охлаждается при неизменном влагосодержании, что обеспечивает преимущества при создании на основе НИО систем кондиционирования воздуха ССКВ.

В качестве испарительного водоохладителя в схеме может использоваться «продуктовая» градирня ГРД (рис. 4-6), что обеспечивает получение «захоложенной» воды и может служить основой для создания как альтернативных холодильных систем СХС, так и систем кондиционирования воздуха ССКВ, с подачей холодной воды в помещение на вентилируемые водовоздушные теплообменники.

III. Эффективность процесса испарительного охлаждения. В качестве естественного предела охлаждения воды в испарительном охладителе (ИО) прямого типа (градирне ГРД, рис. 3А) принято рассматривать температуру воздуха по мокрому термометру на входе в аппарат t_m^1 . На выходе из аппарата, в качестве предельного рассматривают состояние насыщенного воздуха, имеющего температуру поступающей на охлаждение воды t_r^1 (воздух с энталпией h_r^{2*}). Эффективность охлаждения воды в градирне E_{jk} (степень охлаждения воды) и эффективность изменения состояния воздуха E_r (степень использования воздуха) характеризуется величинами:

$$E_{jk} = \frac{(t_{jk}^1 - t_{jk}^2)}{(t_{jk}^1 - t_m^1)}; E_r = \frac{(h_r^2 - h_r^1)}{(h_r^{2*} - h_r^1)} \quad (1)$$

При этом можно полагать:

$$E_{jk} = f(1 = G_r/G_{jk}, t_{jk}^1, t_m^1); \quad E_r = f(1 = G_r/G_{jk}, t_{jk}^1, t_m^1) \quad (2)$$

В работах [1-3], при испытаниях пленочных градирен с насадкой регулярной упорядоченной структуры, подтверждено существование рассматриваемых зависимостей; при этом показано, что: рост относительного расхода воздуха $l = G_r/G_{jk}$ приводит к увеличению E_{jk} и уменьшению E_r ; величины E_{jk} и E_r оказываются независимыми от характера изменения величины $l = G_r/G_{jk}$ (путем изменения расхода воздуха, или путем изменения расхода воды). Реальные значения пределов охлаждения воды и использования воздуха в градирне определяются, помимо значений t_m^1 и t_{jk}^1 , величиной соотношением потоков $l = G_r/G_{jk}$ [1, 3]. Уравнение рабочей линии процесса определяется как равенство:

$$G_r \Delta h_r = G_{jk} c_{jk} \Delta t_{jk} \quad (3)$$

В предположении линейности равновесной линии можно получить следующие выражения для определения рассматриваемых величин, достаточно удобные для инженерной практики:

$$E_{jk} = \frac{|\Lambda - \Lambda e^{N(\Lambda-1)}|}{|1 - \Lambda e^{N(\Lambda-1)}|}, \quad E_r = \frac{|1 - e^{N(\Lambda-1)}|}{|1 - \Lambda e^{N(\Lambda-1)}|}, \quad N_\Sigma = \frac{\beta_h F}{G_r} = \int_{h_r^1}^{h_r^2} \frac{dh_r}{(h_r'' - h_r)} \quad (4)$$

где N – число единиц переноса суммарного тепла в системе, а β_h – коэффициент переноса суммарного тепла (в представлениях «метода энталпийного потенциала» [3]). Полученные выражения все же затруднительны в практическом использовании. Можно получить эмпирические выражения для расчета требуемых величин эффективности процесса в ИО:

$$E_{jk} = c(1 - e^{-1.1\Lambda}); \quad E_r = c(1 - e^{-1.1\Lambda})\Lambda^{-1} \quad (5)$$

где $\Lambda = l / l_{id}$; l_{id} – относительный минимальный расход воздуха. Когда $l = l_{id}$ и $F = \infty$, на обоих концах градирни устанавливаются состояния равновесия. Условия эксплуатации градирни характеризуются характеристическим числом Λ [1, 3]. Форма выражения (5) удобна при представлении опытных данных для нужд расчетной практики при изучении процессов в испарительных охладителях как прямого (ГРД), так и непрямого (НИО) типов.

Эффективность процесса непрямого испарительного охлаждения воздуха. Применительно к процессу в НИО в качестве естественных пределов охлаждения основного и вспомогательного воздушных потоков можно рассматривать температуру полного воздушного потока по мокрому термометру t_m^1 , увеличенную на несколько градусов, в зависимости от соотношения расходов воздушных потоков в аппарате $l = G_o/G_B$: $t^0 = t_m^1 + \Delta t^*$, что связано с процессом переноса тепла в «явном» виде от основного к вспомогательному потоку через разделительную стенку и стекающую по поверхности «мокрого» канала жидкостную пленку, и соответствующим повышением температуры рециркулирующей через «мокрую» часть аппарата жидкости (воды), которая остается в цикле постоянной. Термическая эффективность НИО по основному и вспомогательному потокам:

$$E_o = (t_o^1 - t_o^2)/(t_o^1 - t^0); \quad E_B = (t_B^1 - t_B^2)/(t_B^1 - t^0) \quad (6)$$

$$E_o = f(1 - G_o/G_b t_{\pi} t^0); E_b(E_b^*) = f(1 - G_o/G_b t_{\pi} t^0) \quad (7)$$

Рабочая линия процесса в НИО связывает основные параметры основного «О» (температуру, поскольку он охлаждается при неизменном влагосодержании) и вспомогательного воздушного потока «В» (энтальпию, поскольку процесс в «мокрой» части аппарата связан с переносом тепла и массы) воздуха.

IV. Анализ возможностей многофункциональных солнечных систем. Анализ выполнен на основе ранее полученных в ОГАХ и ОНАХТ экспериментальных данных по эффективности процессов в ТМА осушительного и охладительного контуров [1-3]. Начальное влагосодержание наружного воздуха выбрано значительно выше критической величины $x^* \approx 12,5\text{г}/\text{кг}$, что требует обязательного осушения воздуха перед испарительным охлаждением среды (газа либо жидкости) для обеспечения комфортных параметров воздуха в ССКВ или требуемой температуры охлаждения в СХС. На рис. 3 в поле Н-Т диаграммы влажного воздуха показано протекание процессов в основных элементах солнечной системы применительно к схеме блока охлаждения с двухступенчатым (двухкаскадным) осушителем воздуха и испарительными охладителями непрямого типа НИО, оформленной по формуле: АБР1 – НИО1 – АБР2 – НИО2. Экспериментальные данные приведены по работе [1, 3] на насадке из алюминиевой гофрированной фольги с параметрами слоя: $d_3 = 12\text{мм}$; $H_{ph} = 400\text{мм}$. [3], и на насадке из многоканальных многослойных поликарбонатных плит с параметрами слоя: $d_3 = 15\text{мм}$, $H_{ph} = 400\text{мм}$. [1]. Для НИО, на основе ранее полученных в ОГАХ экспериментальных данных [1-3], принята величина эффективности процесса охлаждения по основному и вспомогательному потокам, равная $E_o = E_b = (t^1 - t^2)/(t^1 - t_M) = 0.65$, при эффективности теплообменников $E_{TO} = 0.8$. Температура воды, рециркулирующей через «мокрую» часть НИО, принята $t_{*k}^* = t_M^1 + 1,5-2,5^\circ\text{C}$. На самом деле эффективность охлаждения вспомогательного воздушного потока несколько выше, чем основного, величина E_b несколько выше чем E_o , а реальное значение величины t_{*k}^* зависит от соотношения расхода воздушных потоков в «сухой» и «мокрой» частях НИО, $l = G_o/G_b$ [1, 3], так что результаты выполненного анализа носят предварительный характер и несколько занижены. На диаграмме Н/Т показана область комфортных параметров воздуха, обусловленная сочетанием температуры и относительной влажности воздуха в кондиционируемом помещении (КП) [1]. В соответствии со стандартом [Строительные нормы и правила СНиП 2.04.05-91 «Отопление, вентиляция и кондиционирование», Государственный строительный комитет СССР, Москва, 1997] зона оптимальных термовлажностных параметров для теплого (летнего) периода года ограничена изотермами 20 и 25°C и линиями $\varphi = 30\%$ и 60% (на рис. 2 эта зона выделена серым цветом). Стандартом оговорена и расширенная комфортная зона с допустимыми параметрами: изотермами 18 и 28°C , слева кривой $\varphi = 30\%$, справа ломанной линией с характерными точками ($t = 27^\circ\text{C}, \varphi = 60\%;$ $t = 26^\circ\text{C}, \varphi = 65\%;$ $t = 25^\circ\text{C}, \varphi = 70\%;$ $t = 24^\circ\text{C}, \varphi = 75\%$). По данным американской ассоциации инженеров по отоплению и вентиляции ASHRAE 55-56 [ASHRAE 1989 Fundamentals Handbook (SI)] для летнего периода комфортная зона ограничена изотермами $t = 10$ и 24°C и линиями $\varphi = 30\%$ и 70% , то есть она несколько шире, чем указанные выше. Видно, что процесс абсорбции водяных паров из воздуха реализуется при последовательном снижении температуры в каждой ступени, что повышает эффективность процесса абсорбции и обеспечивает значительное возрастание потенциала испарительного охлаждения в каждой из ступеней испарительного охлаждения «продуктового» воздушного потока. В конечном итоге разработанная двухступенчатая (каскадная) схема обеспечивает возможность охлаждения «продуктового» воздушного потока значительно ниже температуры мокрого термометра наружного (поступающего в блок охлаждения) воздушного потока и даже ниже температуры точки росы ($t_o = 23,5^\circ\text{C}$ при $t_m^1 = 28,0^\circ\text{C}$ и $t_p^1 = 25,0^\circ\text{C}$, соответственно).

На рис. 4 представлено развитие схемных решений для СХС от одноступенчатой ГРД до двухкаскадного охладителя по формуле АБР1 – НИО1 – АБР2 – ГРД. Показано протекание процессов в основных элементах солнечной системы применительно к схеме СХС, оформленной по формуле АБР1 – НИО1 – АБР2 – ГРД. Здесь 2-5 и 4-6 – процесс изменения состояния воздушного потока в градирне ГРД и $t_{*k}^1 - t_{*k}^2$ – соответствующий процесс испарительного охлаждения воды. Хорошо видно снижение уровня охлаждения воды в градирне ГРД от $t_{*k}^2 = 32,50^\circ\text{C}$ для ГРД, работающей на наружном воздухе (НВ) до $t_{*k}^2 = 21,5^\circ\text{C}$ для двухкаскадной схемы. Приведенный пример соответствует очень «тяжелым» начальным климатическим условиям. В среднем, для среднеевропейских условий, когда влагосодержание НВ не превышает 15г/кг, двухкаскадный охладитель СХС может обеспечить получение охлажденной жидкости на уровне нуля градусов, или

ниже. Это охватывает нужды энергетики, химической и пищевой технологии и позволяет решать задачи охлаждения, не прибегая к традиционной парокомпрессионной технике.

Эффективность охлаждения в каждой последующей ступени многоступенчатого охладителя снижается. Поскольку энергозатраты на движение теплоносителей через очередную ступень охладителя практически не изменяются, количество ступеней многоступенчатого охладителя должно выбираться с точки зрения инженерной оптимизации. Использование многоступенчатых испарительных охладителей в целях охлаждения сред и термовлажностной обработки воздуха позволяет снизить энергозатраты, в сравнении с традиционной парокомпрессионной техникой охлаждения, в среднем на 25-35% и существенно повысить экологическую чистоту новых решений [1-3].

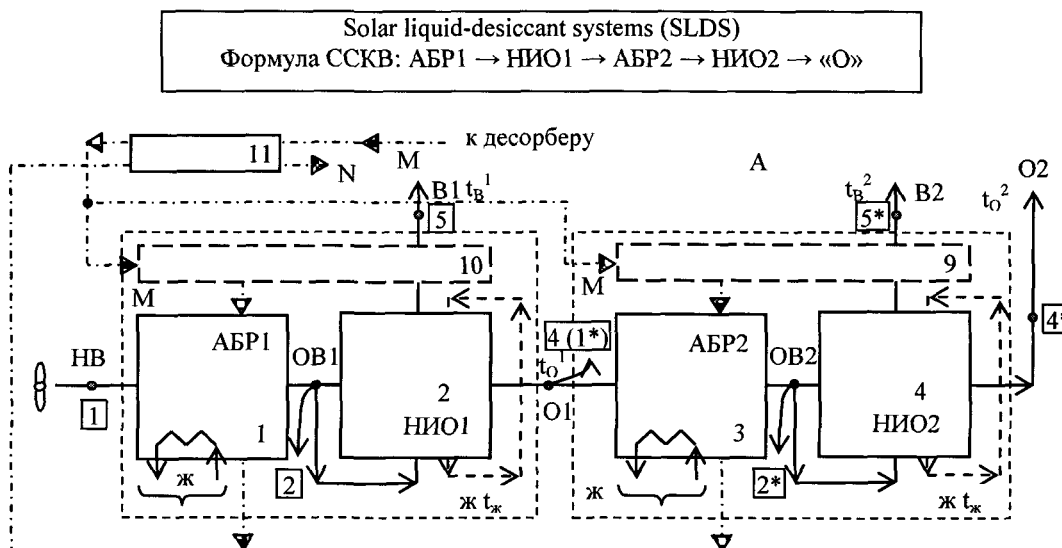
1. Многофункциональные солнечные системы основаны на теплоиспользующем абсорбционном цикле открытого типа и состоят из осушительной части (в составе абсорбер-осушитель – десорбер-регенератор) и охладительной части, в составе испарительных охладителей газов и жидкостей прямого (водоохладитель-градирня ГРД), или непрямого (воздухоохладитель НИО) типов; поддержание непрерывности цикла обеспечивает солнечная система.

2. Использование многоступенчатого абсорбера для осушения воздушного потока, как и использование многоступенчатого десорбера для восстановления концентрации абсорбента обеспечивают рост эффективности процесса абсорбции и существенное снижение пределов испарительного охлаждения сред (газов или жидкостей).

3. Блок охлаждения с двухступенчатым осушителем воздуха и испарительными охладителями непрямого типа НИО, оформленной по формуле АБР1 – НИО1 – АБР2 – НИО2 оптimalен для создания альтернативных систем кондиционирования воздуха ССКВ; формула АБР1 – НИО1 – АБР2 – ГРД позволяет создать солнечные холодильные системы СХС.

СПИСОК ЛИТЕРАТУРЫ

1. Дорошенко, А. В. Альтернативная энергетика. Солнечные системы тепло-хладоснабжения: монография / А. В. Дорошенко, М. А. Глауберман. – Одесса : ОНУ, 2012. – 446 с.
2. Горин, А. Н. Солнечная энергетика. (Теория, разработка, практика)/ А.Н. Горин, А.В. Дорошенко. – Донецк : Норд-Пресс, 2008. – 374 с.
3. Дорошенко, А. В. Компактная тепломассообменная аппаратура для холодильной техники (теория, расчет, инженерная практика) Докторская диссертация, Одесский институт низкотемпературной техники и энергетики. – Одесса, 1992. – т. 1. – 350 с., т. 2. – 260 с.
4. Foster, R.E., Dijkstra, E. Evaporative Air-Conditioning Fundamentals: Environmental and Economic Benefits World Wide // International Conference of Applications for Natural Refrigerants' 96, September 3-6. – Aarhus, Denmark, IIF/IIR, 1996. – P. 101 – 109.
5. McNab, John L., McGregor, Paul. Dual Indirect Cycle Air-Conditioner Uses Heat Concentrated Dessicant and Energy Recovery in a polymer Plate Heat Exchanger. // 21^h International Congress of Refrigeration IIR/IIF – Washington, D.C, ICR0646, 2003.
6. Stoitchkov, N. J., Dimirov, G.J. Effectiveness of Crossflow Plate Heat Exchanger for Indirect Evaporative Cooling. // Int. J. Refrig., vol. 21, no. 6. – 1998. – P. 463 – 471.
7. Zhao, X., Liu, S., Riffat, S.B., Comparative study of heat and mass exchanging materials for indirect evaporative cooling systems. // Building and Environment 43. – 2008. – P. 1902 – 1911.



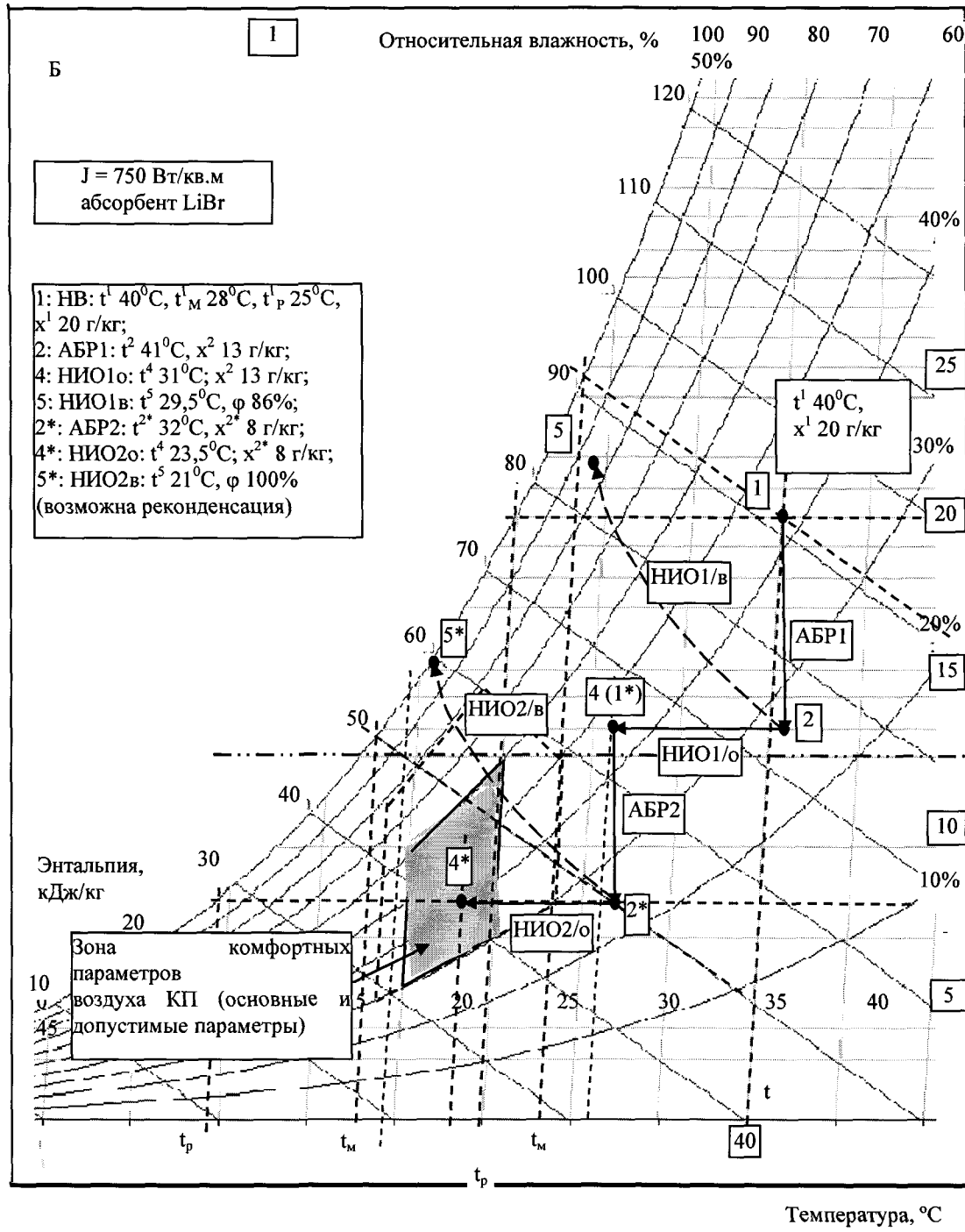


Рисунок 3 – Принципиальные возможности разработанных ССКВ (формула АБР1-НИО1-АБР2-НИО2, позиция А), анализ процессов на Н-Т диаграмме влажного воздуха (Б). Обозначения по рис. 2, доп.: 1-2, 1*-2* – процесс осушения воздуха в абсорбере; 2-4, 2*-4* – охлаждение основного воздушного потока в НИО; 2-5, 2*-5* – вспомогательный воздушный поток в НИО

Осушительно-испарительный контур солнечной системы
Solar liquid-desiccant systems (SLDS)
Формула СХС: НВ → АБР1 → НИО → АБР2 → ГРД → «охл. вода»

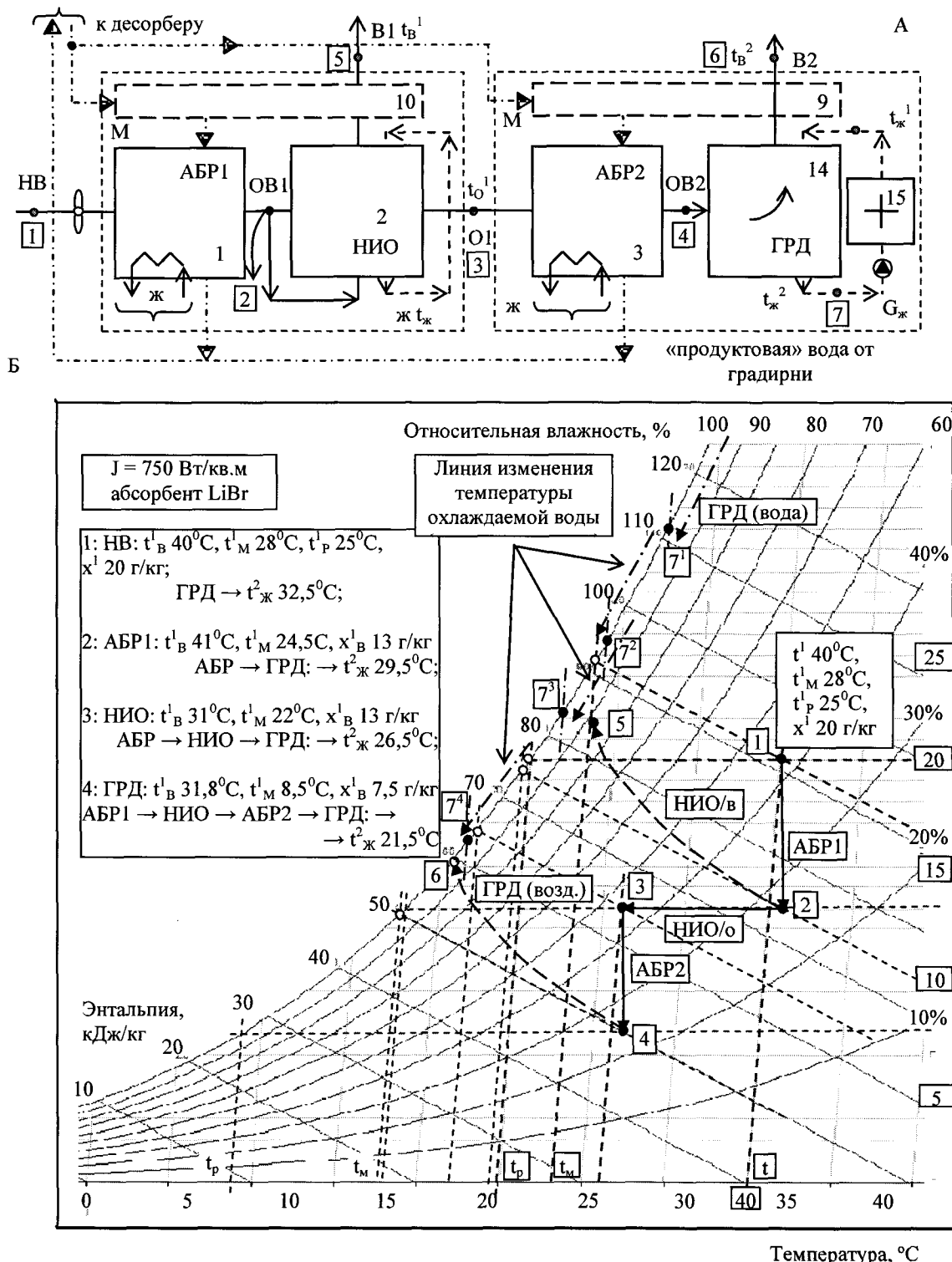


Рисунок 4 – Принципиальные возможности разработанных СХС (формула АБР1-НИО1-АБР2-ГРД).
Обозначения по рис. 2, доп.: 1-2, 3-4 – процесс осушки воздуха в абсорбере; 2-3, 2-5 – основной и вспомогательный воздушные потоки в НИО; 7¹, 7², 7³, 7⁴ – охлажденная в градирне ГРД вода $t_{\text{ж}}^2$ (ГРД, АБР-ГРД, АБР-НИО-ГРД, АБР1-НИО-АБР2-ГРД)